

اكتشاف طفرتين في الإكسون 28 ضمن مورثة فون فيلبراند لدى مريضين راجعا مشفى هلم شاير الجامعي

الدكتور محي الدين عيسى*

(تاريخ الإيداع 2013 / 5 / 7 . قبل للنشر في 2013 / 8 / 18)

□ ملخص □

اكتشفت طفرتان في الإكسون 28 من مورثة فون فيلبراند لدى رجل A وامرأة B مصابين بمرض فون فيلبراند.

وقد أظهرت الاختبارات النوعية مثل مقايصة ارتباط VWF:FVIII ومقايصة ارتباط الكولاجن VWF:CB وتحليل بروتين العامل VWF أن مرض VWD هو من نمط 2A في المورثة. كما كشف تحري الإكسون 28 بواسطة تقنية PCR وسلسلة أسس الدنا DNA عن وجود الطفرة A_1 (C>T) في المريض A والطفرة B_1 (G>A) في المريضة B وهي طفرات مسؤولة عن ظهور المرض VWD مما يؤكد على أن مورثات التخثر الطبيعية هي مورثات منظمة ومبرمجة ذاتياً.

الكلمات المفتاحية : الطفرات -مرض فون فيلبراند -عامل فون فيلبراند متعدد الأجزاء -الإكسون -المورثة الجينومية -الصفحة الدموية-تسلسل الدنا DNA

* أستاذ- قسم علم الحياة الحيوانية -جامعة دمشق -سورية

Exploring two mutations in the exon 28 of Von Willebrand gene in two patients follow up the Halmshire hospital – university

Dr. Mohiddin Issa *

(Received 7 / 5 / 2013. Accepted 18 / 8 / 2013)

□ ABSTRACT □

Two mutations of exon 28 in the Von Willbrand gene have discovered in two patients (female and male). Specific tests such as the VWF: FVIII binding assay, collagen binding assay VWF:CB and VWF protein analysis give that VWD is a type of 2A at the gene. Investigating exon 28 by PCR technique and DNA sequencing revealed mutation A₁(C>T) in patient A and a mutation B₁(G>A) in patient B. These mutations are responsible for the presence of VWD.

Assuring that natural genes involved in coagulation are well organised and automated.

Key words: mutations - Von Willebrand disease - VWD- Von Willebrand factor - VWF multimers - exon - genomic gene platelet - DNA sequencing

*Professor, Biology Department , Damascus university , Syria

مقدمة:

تشمل المقدمة عرضاً للدراسات المرجعية حول مشكلة البحث وكيفية الوصول إلى الطفرات :

مرض فون فيلبراند : (V.W.D)

هو مرض وراثي نادر يصيب الرجال والنساء معاً على حد سواء . ويتميز باعتلال نزفي دموي طويل الأمد ينتج عن انخفاض في مقدار العامل فون فيلبراند (V.W.F) بسبب حدوث طفرة في مورثة العامل (V.W.Gene) وقد أخذ المرض اسمه من اسم الدكتور فون فيلبراند عام 1926 الذي وصفه لأول مرة في جماعات من العرق القوقازي واسماه بمرض الهيموفيليا الكاذبة ؛ إذ وجد أن المرض يظهر بمعدل 4-3 في كل مئة ألف نسمة (1)

مورثة العامل : VWF (VWGene)

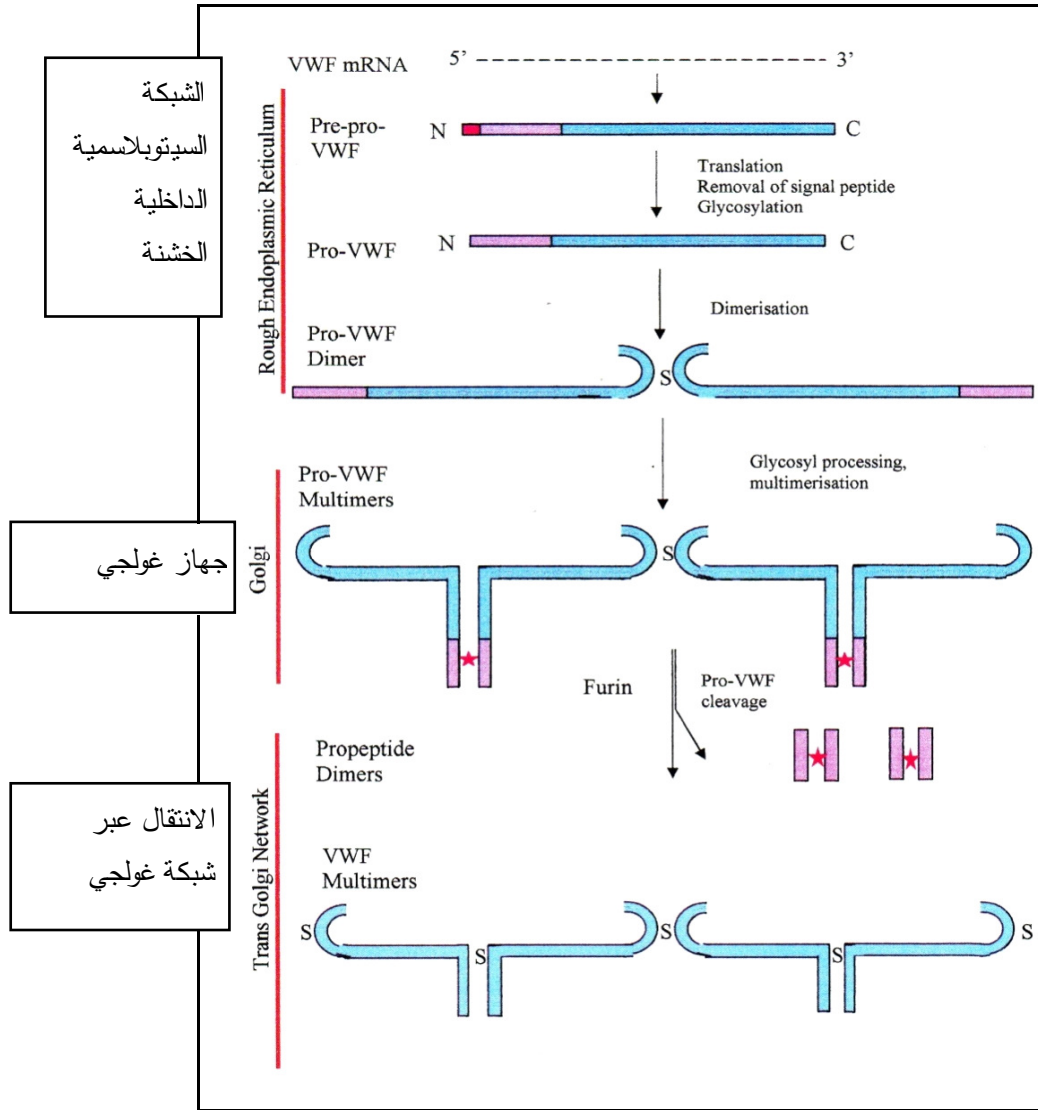
تقع مورثة العامل VWF في الموضع $12P^{12pter}$ من الذراع القصير للصبغي البشري رقم 12 وتتألف من 52 إكسوناً بحجم 180 kbase ؛ إذ ترمز الأكسونات 17 الأولى على تركيب بيتيدي الإشارة والطيعة بينما ترمز الإكسونات الباقية 35 على بروتين العامل VWF بشكله الوظيفي ثلاثي الأبعاد ولهذا يورث مرض VWD بالوراثة الجسمية (2)

عامل فون فيلبراند : (V.W.F)

هو بروتين تيمم أنزيم يتألف من 2813 حمضاً أمينياً منها 22 حمضاً أمينياً تشكل بيتيدي الإشارة (signal peptide) ومنها 741 حمضاً أمينياً تشكل طليعة الببتيد مولدة الضد ((antigene ومنها 2050 حمضاً أمينياً تشكل بروتين العامل الناضج (3)

اصطناع العامل : (V.W.F)

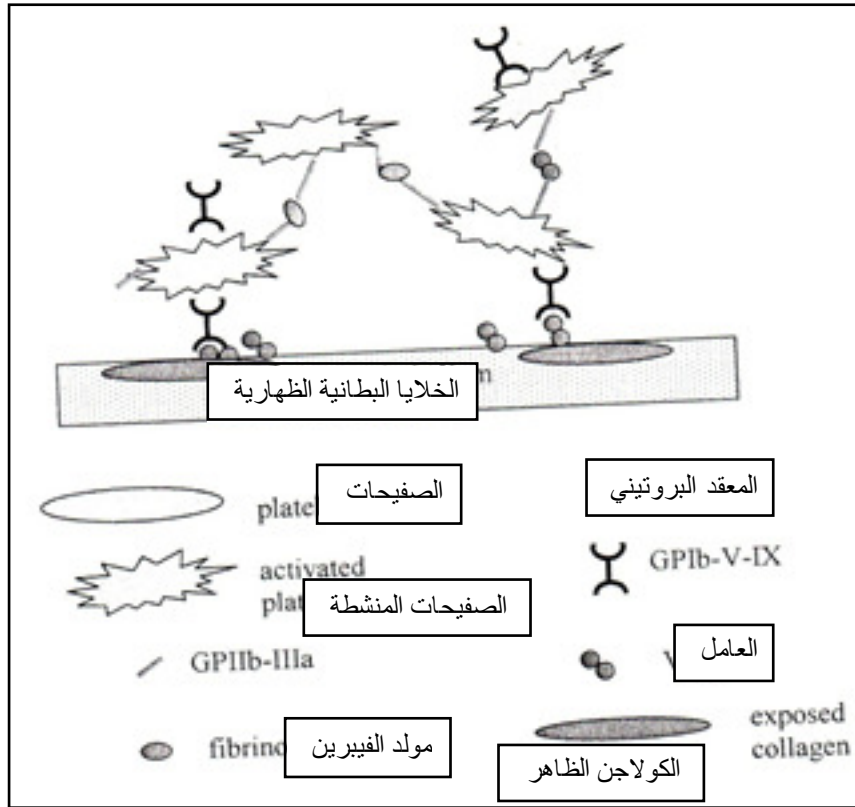
يصطنع بروتين عامل V.W.F في الشبكة السيتوبلاسمية الداخلية الخشنة بعد ترجمة الرنا المرسال mRNA للمورثة إلى Pre-Pro VWF؛ إذ يفصل بيتيدي الإشارة أنزيمياً وتضاف السكريات وتتشكل البلمرة الثنائية (dimerization) بروابط ثنائية الكبريت ثم تمر إلى جهاز غولجي وتتفصل طليعة الببتيد بفعل الفيورين (furine) ويتحرر بروتين العامل VWF متعدد الأجزاء) شكل (1) ويخزن في جسيمات Weibel وفي حبيبات الفا الصفحية وفي الخلايا البطانية وعندما تنشط الصفائح الدموية في بداية التخثر تتحرر هذه العوامل كلها علماً أنه يبقى أكثر من 5% حراً في جريان الدم. (4)



(الشكل 1): مخطط يبين اصطناع البروتين VWF في الشبكة السيتوبلاسمية الداخلية حيث يشير حرف S إلى الارتباط ثنائي الكبريت ويشير * إلى الارتباط غير التساهمي بينما يشير اللون الأزرق الخفيف إلى البروتين VWF الناضج ويشير اللون البنفسجي إلى الطليعة (26)

دور العامل V.W.F في التخثر:

يقوم العامل V.W.F البروتيني بتشكيل جسر بين جدار الوعاء الدموي الشعري المعطوب وبين الصفائح الدموية بمساعدة المعقد البروتيني السكري الصفحي Gp1-V-1X للصلق الصفائح تبعد تنشيطها على شفتي الجرح (شكل 2) من خلال المستقبلات المحرزة بالعامل FIII وبمساعدة الكالسيوم (Ca++) والفيتامين K ومولد الفيبرين (fibrinogen) البلاسمي وباستمرار الالتصاق تفعل الصفائح المتراكمة على الكولاجن (Collagen) لتصمم وتهندس السدادة (Plug)) الدموية بحجم الجرح ولتتحل بعد شفاء الجرح بمنظومة وراثية مبرمجة يدخل فيها أنزيم البلازمين. (5)

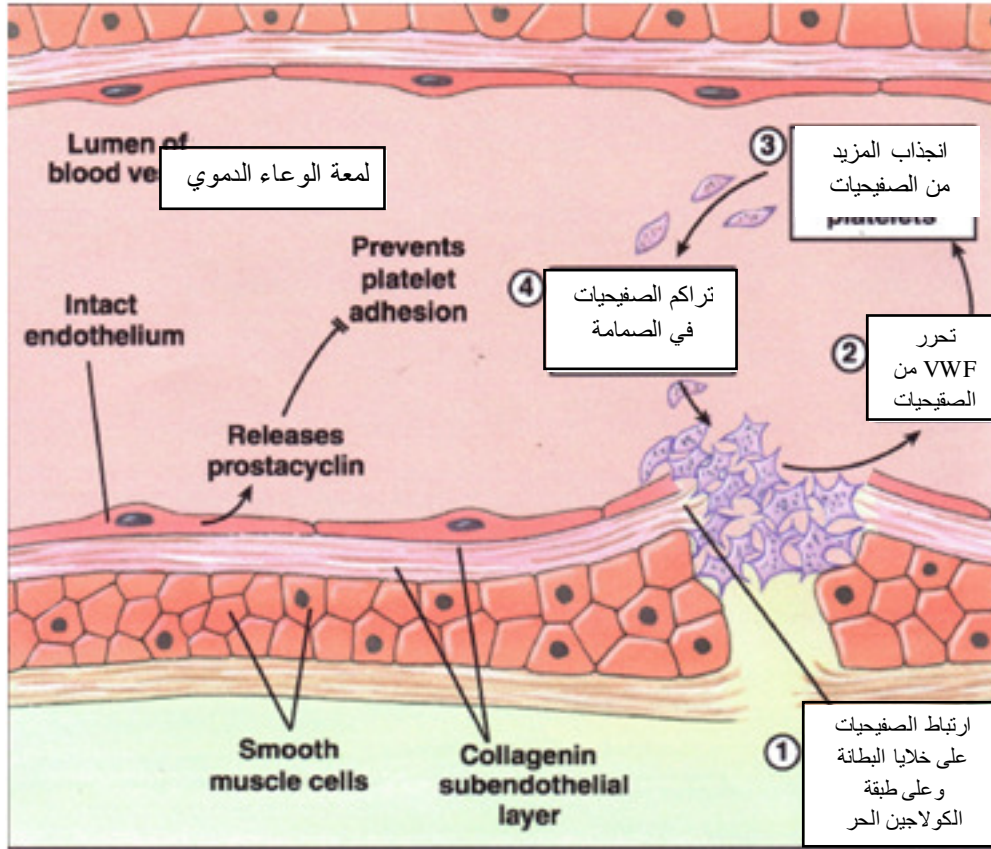


(الشكل 2) : مخطط يبين دور العامل VWF كجسر بتوسط الصفائح الدموية وينشطها على جدار الأوعية الدموية المعطوبة ويلصقها على الكولاجن (Collagen) ويربط الصفائح معاً (6)

الصفائح الدموية (Platelets):

هي خلايا دقيقة (لا نواة لها) تنتج من تبرعم الخلايا النواء العملاقة (megakaryocytes) بقطر (1-2) ميكرومتر) وتوجد بمعدل من 150 إلى 350 ألف صفيحة في المليمتر المكعب الواحد (وتدور في الدم. وينتج عن التصاقها على الكولاجن في عملية التخثر محرر محتوى حويصلاتها الافرازية المشتملة على العامل V.W.F ومختلف العوامل الكيميائية الأخرى لتتراكم الصفائح وتغير شكلها الكروي إلى الشكل المتطاوول) المشرشر (مما يشكل طوراً مهماً في عملية التخثر ؛ إذ يلعب العامل V.W.F بارتباطه إلى المعقد البروتيني الصفيحي Gp1b-v-1x دوراً مميزاً في تنشيط الصفائح للتصاق والتكدس وهذا يتطلب وجود أنزيم thrombin وبذلك تلتصق الصفائح وتتراكم كما تتحول مادة مولد الفيبرين إلى فيبرين (fibrin) وبذلك يرتبط العامل V.W.F في البطانة الداخلية مع شروط الجهد العالي لتدفق الدم لأن بنية العامل V.W.F أساس لللفة العالية للارتباط ولهذا يعرف العامل V.W.F بأنه البروتين اللاصق (adhesive) (7).

وتتألف الخثرة الدموية (شكل 3) من السداة (الصمامة) المؤلفة من الصفائح المنغمرة في شبكة الفيبرين (غير المنحلة) وأسر العديد من الكريات الحمر والبيض وغيرها لوقف النزيف الدموي. (8)



(الشكل 3) : مخطط يبين آلية تشكل السدادة الصفيفية (الخثرة الدموية) بحجم الجرح خلال النزف الدموي بفعل VWF لالتصاق الخلية الصفيفية مع الخلية الصفيفية الأخرى وتراكم الصفيفات مع التصاق الخلايا الصفيفية بالخلايا البطانية وطبقة الكولاجن (8)

التفاعل التسلسلي البوليميرازي: (PCR)

هي تقنية تعتمد على تضخيم الدنا (DNA) باستعمال أنزيم دنا بوليميراز المقاوم للحرارة ثم رحلانه الكهربائي على هلام الاغاروز ((agarose gel التي تسمح بفصل العصابات وتباعدها.؛ إذ ترحل شدة الدنا المشحونة سلباً وهي في قوالب الهلام نحو القطب الموجب بسرعة تتناسب عكسياً مع عدد أشعاع الأسس. فالجزيئات الكبيرة تتحرك ببطء أكبر من الجزيئات الصغيرة وبعدها تدرس العصابات من خلال استخدام الملونات البينية مثل إيثيديوم برومايد (Ethidium Bromide) وتصويرها بالأشعة فوق البنفسجية وهي في الهلام (9)

تسلسل الدنا: (DNA Sequence)

هو تحديد تتابع أحرف البنية الأولية لجزيء الدنا وهذه الاحرف هي الأدينين (A) والسيتوزين (C) والغوانين (G) والتايمين (T) الممثلة للنكليوتيدات الأربعة وهم وحدات سلسلة الدنا ويجب أن تكون أحرف هذا التسلسل متلاحقة بحيث يتلو كل حرف الحرف الآخر من دون فجوات أو انثناءات ويكون الرحلان على هلام عديد الأكريلاميد الذي يتيح فصلاً عالياً إلى حدود الأساس الواحد. (10)

طفرات الإكسون: 28

عرفت طفرات الإكسون 28 في المجال 2A من مورثة العامل VWF منذ عام 1989 ودرس منها حتى عام 45 (2005) طفرة وتحدث هذه الطفرات بسبب تغيير في أحد أسس الكلمات الوراثية ثلاثية الأحرف triplets والمعروفة

باسم التعدد الشكلي للنكليوتيد الواحد (SNP) وينتج عنها انخفاض نوعي في كمية العامل VWF وفي إلفته مع معقد التخرثر GP1b وفي الربط غير التساهمي مع العامل FVIII وهي مخزنة في البنك الوراثي (30) NCBI

أهمية البحث وأهدافه:

تهدف هذه الدراسة إلى توصيف مورثة مرض VWD في مجال 2A في حالتي عدم وقف النزيف الدموي وعدم تكون الخثرة واعتماد الاختبارات المخبرية الجزيئية على مستوى مستضد العامل V.W.F ونشاط العاملين VWF و FVIII وإجراء المقاييس المتخصصة للارتباط VWF:FVIII و VWF:CB وتحليل بروتين العامل V.W.F عالي الوزن الجزيئي واستخدام تقنية التفاعل التسلسلي البوليميرازي (PCR) لتحديد العصاب الطافرة، ومسح الإكسون 28 حاسوبياً لتحري تسلسل أسسه وتحديد الأساس الطافر ثم مسح كامل سلسلة المورثة (الجين) لمعرفة الطفرة في الحالة الوراثية موضوع الدراسة.

طرائق البحث ومواده:

قمنا باستخدام المواد والأدوات والأجهزة الموجودة في مخبر قسم الوراثة الجزيئية وذلك من إقيات (دارنات) (Buffers) وبادئات نوعية ومختلف المحاليل والأنزيمات وتقنية PCR وتضخيم الدنا ورحلانه وقراءة سلسلة الدنا وتطبيق المقاييس واستعمال الأجهزة المختلفة:

• جمع الدم:

جمعنا الدم الوريدي من مريضين هما رجل (A) وامرأة (B) المشخصين مسبقاً بمرض VWD من أصل 45 مريض راجعوا مركز التخرثر والنزف في مشفى هالم شاير الجامعي و ذلك بعد استخدام الدارئة المضادة للتخرثر بنسبة (0.038 %)

• فصل البلاسما :

أخضعنا عيّنات الدم السابقة إلى التثقل بسرعة 2500g لمدة 10 دقائق ثم أخذت البلاسما وخزنت في 1مL في الدرجة (-70°C)

• استخلاص الدنا الجينومي :

تمّ استخلاص الدنا الجينومي من الخلايا المترسبة باستخدام طاقم جاهز (Nucleon Bacc2 Kit) بحلّ الكريات الحمر وتفكيك بروتينات الكريات البيض وبالتثقل لمدة 20 دقيقة بسرعة 1800g ثم غسل الراسب بالدارئة Lysis Buffer ثم التثقل ثانيةً بسرعة 1300g لمدة 3 دقائق ثم أخذ الدنا الجينومي قدراً بالميكروغرام (µg) وخزّن في الدرجة (-20°C)

• مقاييسه مستضد العامل VWF: Ag

تمت مقاييسه المستضد VWF: Ag للعامل VWF باستخدام طاقم جاهز (ALISA)؛ إذ تغطي صفيحة مكروية براصة العامل VWF المتعددة النسيلة وتوضع فوق مستضد العامل VWF ثم تترك لمدة ساعة وبعدها تغسل بالدارئة PBS Buffer ثم تقارن ببلاسما الأفراد الأصحاء الشواهد لقياس المستضد Ag بمقاييسه مناعية. (11)

• مقايصة ارتباط VWF: FVIII:

تمت مقايصة ارتباط العامل FVIII بالعامل VWF باستخدام الطاقم الجاهز (FVIII Chromogenic-Kit) ثم مقارنته مع الارتباط في البلازما المأخوذة من الأسياء (الشواهد) لقراءة الصفيحة المكروية في 405 نانومتر بالمقايصة اللونية لمعرفة كمية VWF المرتبط بالعامل (12) FVIII

• مقايصة العامل المساعد ريستوساتين ((ristocetin للعامل (VWF:Rco) VWF

تمت مقايصة هذا العامل الممرض للتراص الصفيحي ولفاعلية العامل FVIII باستخدام الطاقم الجاهز (RCOchromogenic Kit) لتحري نشاط (13) VWF:Rco

• مقايصة ارتباط الكولاجن بالعامل VWF

تمت مقايصة هذا الارتباط VWF:CB باستخدام الطاقم الجاهز (WF:CB-immunozymKit) وتطبيق المعايير الواردة في الطاقم مع نتائج التجربة مع الشواهد بعد تغطيتها مع الكولاجن البشري وسلسلة من الغسل والتمديد والحفظ بالمحم لفترات مختلفة حتى ظهور اللون لقراءة النتيجة (14)

• تحليل بروتين العامل VWF

العامل VWF هو بروتينسكري متعدد السلاسل. وقد تمكنا من تحليله بواسطة سولفات دوداسيل الصوديوم (soudium dodecyl sulphate) بعملية صبّ البلازما المخزنة في 1ml على هلام الأكاروز واستخدام الرحلان الكهربائي لفصل مكونات بروتين VWF عالي الوزن الجزيئي حتى إظهار لمعان (Luminescent visualization) العصاب في الهلام لدراستها بامسح الصور الحاسوبي ببرنامج Syn Gene لمعرفة تنميط المرض (15) VWD

• تقنية PCR وتضخيم الدنا (DNA)

بتطبيق تقنية PCR بأخذ (1µg) من جينوم الدنا في كل إنبوب تجربة مع دائرة من (16 mM-NH₄, 200µM Taq(Bioline) وعلى (1U) بوليميراز دنا (0.4mM, Tris- HCl PH8.8, 0.01% tween 20) من كل dTTP و dGTP و dCTP و dATP ومع 300ng لكل من البادئات (شكل 4) الأمامية والعكسية للإكسون 28 وعلى الطاقم الجاهز (Minelute PCR Purification Protocol Kit) لتقنية الشد. وتبدأ الدورة الحرارية من خطوة التسخن denaturation لفصل سلسلتي دنا الحلزون المتتامتين لمدة دقيقة واحدة بدرجة حرارة (96°C) ثم خطوة التلدن الحراري لالتصاق البادئ لتقديم الزمرة -OH لاستهلال السلسلة الجديدة لمدة دقيقة واحدة بالدرجات 48 و 55 و 59 إلى خطوة الاستطالة والتنام بين السلسلة الأصلية (المرصافية) والسلسلة الجديدة بالاتجاهين لمدة دقيقتين بالدرجة 72° وبإضافة النكليوزيدات الريبية المنقوصة الأوكسجين ثلاثية الفوسفات (dNTPs) إلى السلسلة النامية وبهذا نحصل على عدد كبير من النسخ (35) دورة (وهذا هو التضخم أو التكثير (amplification) وبعدها توضع الهلامات بشكل مقلوب على مقياس الأشعة فوق البنفسجية (UV) لتصوير عصاب التضخم للإكسونات 28 لدراستها في المريضين والشواهد لتحديد العصاب الطافرة وتحريها (16)

Exon 28 primer details تسلسلات بادئات الأكسون 28		
Exon Number		Primer sequence تسلسلات البادئات
28-1	بادئتا السلسلة الأمامية و العكسية	GGG AAT ATG GAA GTC ATT G ACA GTG TGT ATT TCA AGA CCT
28-2	بادئتا السلسلة الأمامية و العكسية	CCC AGA AGT GGG TCC GCG TGG CC CAC AGA GGT AGC TAA CGA TCT CG
28-3	بادئتا السلسلة الأمامية و العكسية	ACC TCA AGC AGA TCC GCC TCA TC GCC CAG TGT TGG TCC TGT TGC CG

(الشكل4) : جدول يبين بادئتي دنا المريض (exon 28-1) A وبادئتي دنا المريضة (exon 28-2) B وبادئتي دنا الشاهد (exon 28-3)

8) تسلسل الدنا DNA

قمنا بدراسة تسلسل أسس السلسلة الواحدة باستخدام البادئات النوعية وبإضافة العديد من النيكلوزيدات الريبية المنقوصة الأوكسجين ثلاثية الفوسفات ($dNTP_s$) كما هو الأمر في تقنية PCR وبإضافة العديد أيضاً من ثنائي ($\bar{2} - \bar{3}$) نيكلوزيدات ريبية منقوصة الأوكسجين متفلورة من ddATP ومن ddCTP ومن ddGTP ومن ddTTP مقاومة للحرارة وبتطبيق تقنية وقف نمو السلسلة العشوائي على هلام عديد الأكريلاميد لإظهار الأسس الواحد في التسلسل لأن كل من $ddNTP_s$ يمتلك ميسم (tag) متفلور يعطي اللون الأخضر (الفلوريسين) للأدينين واللون الأحمر (الرودامين) للثايمين واللون الأزرق (الكومارين) للسيتوزين واللون الأسود للغوانين (17). وتتم تقنية التسلسل بفصل سلسلتي الدنا لمدة دقيقة واحدة بالدرجة (94°) وارتباط البادئ المناسب على سلسلة واحدة فقط لمدة 15 ثانية بالدرجة (50°) وبالاستطالة بنمو السلسلة الجديدة لمدة 4 دقائق بالدرجة (60°) بإضافة مزيج من dNTPs ومن ddNTPs المتفلورة لقراءة تسلسل سلسلة واحدة بتسجيل إشارة الفلورة كلما عبر الدنا (DNA) نقطة ثابتة في الهلام من داخل البئر الواحد لأن شعاع الليزر يحرض الملونات على الفلورة بالحد الأعلى وبعدها تظهر القمم المتفلورة في المخطط البياني لتسلسل الأسس ضمن برمجيات الحاسوب لمعرفة الأساس الطافر:

(a) لأظهار تسلسل الأكسون 28 نستخدم البادئات الأمامية (الشكل4) لقراءة المخطط البياني ومنه تحديد

الأساس الطافر من سلسلة الأكسون المرمزة

(b) كشف الطفرة:

(c) تستخدم تقنية الحلزون المتغاير (heteroduplex) بتهجين الأكسون 28 للمريض مع الأكسون 28 للشاهد

وإستخدام البادئة العكسية (الشكل4) حتى ظهور القمم المتفلورة لسلسلتي الحلزون المتغاير وبالتصوير بالأشعة فوق البنفسجية وقراءة السلسلتين المرمزتين لكشف الأساس الطافر (18)

(d) سلسلة دنا المورثة:

يستخدم جهاز التسلسل الآلي (Automated Sequencer) المرتبط بنظام حاسوبي لإظهار القمم المتفلورة

لأسس المورثة بعد تطبيق بادئتها لزمان يتراوح (12-24) ساعة لقراءة سلسلة الدنا من المخطط البياني للبرنامج الحاسوبي للمورثة الطافرة بعد مقارنته مع سلسلة دنا مورثة الشاهد المرمزة التي تمت قراءة تسلسلها الكامل في الخريطة الأولى لمشروع الجينوم البشري (2003) التي خزنت في البنك الجيني (NCBI) للتأكد من وجود الأساس الطافر (19)

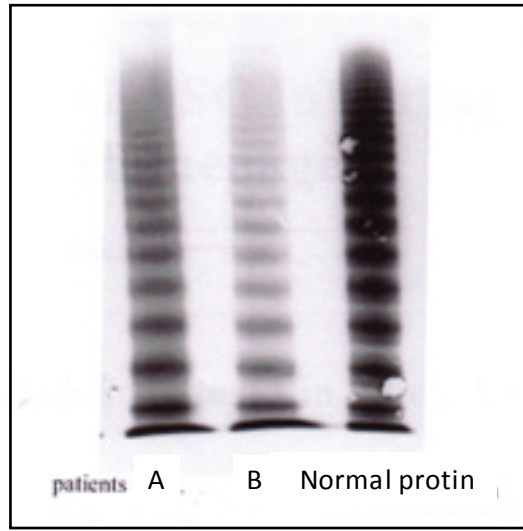
النتائج والمناقشة:

النتائج (Results)

يمكن عرض النتائج بالصورة الآتية:

1. تحليل عصابات بروتين العامل VWF

تبين صور المسح الحاسوبي لتحليل بروتين العامل VWF للمريضين A وB وهو في الهلام ظهور عصابات منسجمة في نمطها ونوعها وتسلسلها بالمقارنة مع العصابات الطبيعية الشاهدة ولكنها تختلف عنها بالحجم جزئياً (الشكل 5) كما يبين قياسها في الكثافة اللونية بعد الرحلان الكهربائي ومقارنة مرسماتها مع مرسمات بروتينات الشواهد وجود انخفاض في كمية البروتين بمعدل (10-15) % مما يشير إلى وجود المرض VWD في المجال 2A



(الشكل 5): صورة تبين نمط عصابات VWF في المريضين A وB

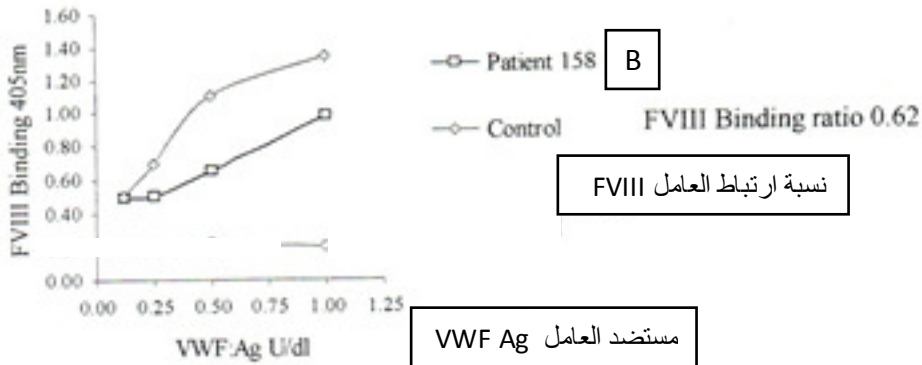
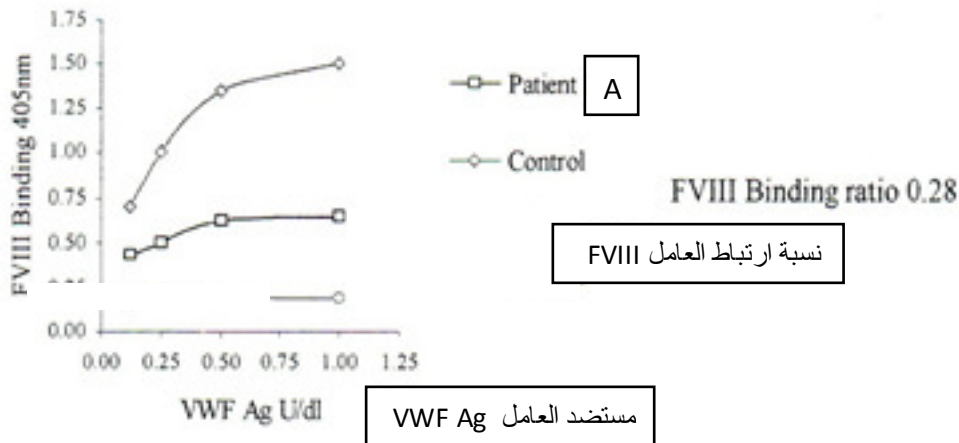
المنسجمة مع عصابات بروتين الشاهد الطبيعي ولكنها تختلف عنها في الحجم نسبياً

2. مقارنة مستوى مستضد العامل VWF:Ag

أظهرت مقارنة مستوى مستضد العامل VWF:Ag في بلاسما المريضين A وB مقارنةً بمستويات بلاسما الشواهد بعد ظهور اللون الواضح للكثافة البصرية (490nm) اختلافاً بين كميتي VWF: RCO و VWF: Ag مما قد يؤدي إلى تغير في وظيفة البروتين العامل VWF المنخفض نوعياً.

3. مقارنة ارتباط العامل FVIII بالعامل VWF

تظهر نسبة ارتباط العامل FVIII بقرينه VWF في المريض (A) بمعدل 28 % وتظهر هذه النسبة بمعدل 62 % في المريضة (B) مما يشير إلى اعتماد العامل FVIII بوظيفته على العامل VWF وإلى ارتباطه الجزئي (0.62-0.28) الذي هو أعلى للمريضة (B) مما يفترض وجود خلل حاسم في وظيفة FVIII في المريضة (B) عندما يختل العامل VWF (شكل 6)



(الشكل 6): مخططان بيانيان للمريضين A وB يشاران إلى الارتباط الجزئي للعاملين FVIII وVWF حيث يرتبط FVIII إلى VWF بالطور الصلب التركيز (U/d₁) ضد التماس بسرعة الموجة 405nm مما يشير إلى خلل ناتج في الارتباط

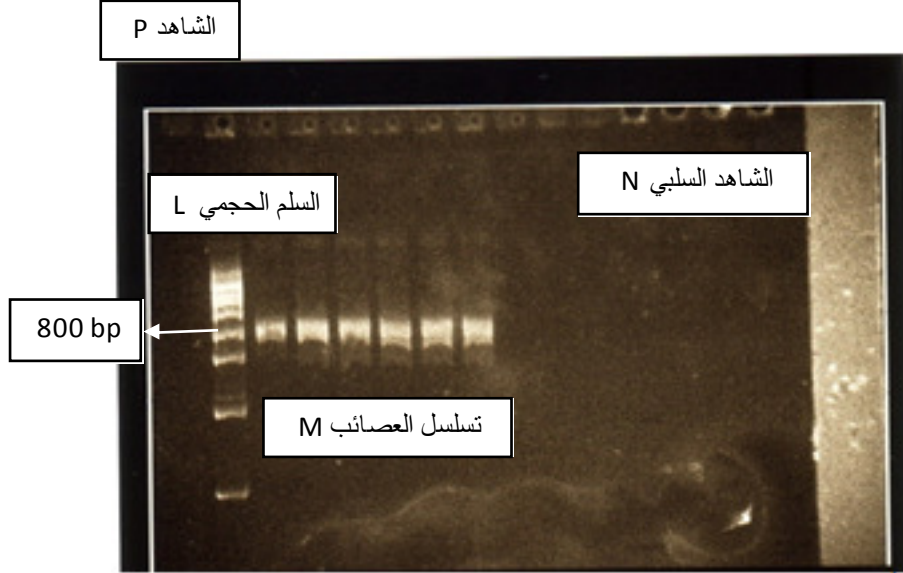
4. مقايصة VWF:CB هي اختبار مناعي تم فيه حساب نسبة كل من VWF:Ag/VWF:CB لكل مريض وشاهد بعد قراءة الصفيحة بموجة 450 μ. m وحساب النسبة VWF:Ag/VWF:CB لكل مريض وشاهد مما يشير إلى الألفة المنخفضة لربط الكولاجن والعامل VWF على الصفيحات الدموية في المريضين A وB.

5. مقايصة ارتباط العامل المساعد RCO (ristocetin) يشير هذا القياس في التجربة إلى انخفاض في إلفة VWF و RCO المرتبطة بروتين العامل VWF عند تراكم الصفيحات في عملية التخثر وتشكل السدادة

6. عصائب (Bands) دنا الإكسون 28 المضمخة تظهر صورتقنية PCR وتضخيم الإكسون 28 (الشكل 7) بالبادئتين الأمامية والعكسية عصائب نوعية تدل على وجود عصابة طافرة واحدة خارج خط العصائب في المريضين A وB وعلى عدم وجودها في تسلسل عصائب الشاهد النموذجي. كما تدل الصورة على عدم وجود أي تلوث في الشاهد السلبي N (الماء المقطر) وترمز أحرف الصورة إلى أن P للمريض أو للشاهد وL للسلم الحجمي وM لتسلسل العصائب وN للشاهد السلبي علماً أن تسلسل العصائب M تعود إلى عدة تفاعلات وتجارب أخذ منها الشكل النموذجي

أولاً "عصائب الشاهد"

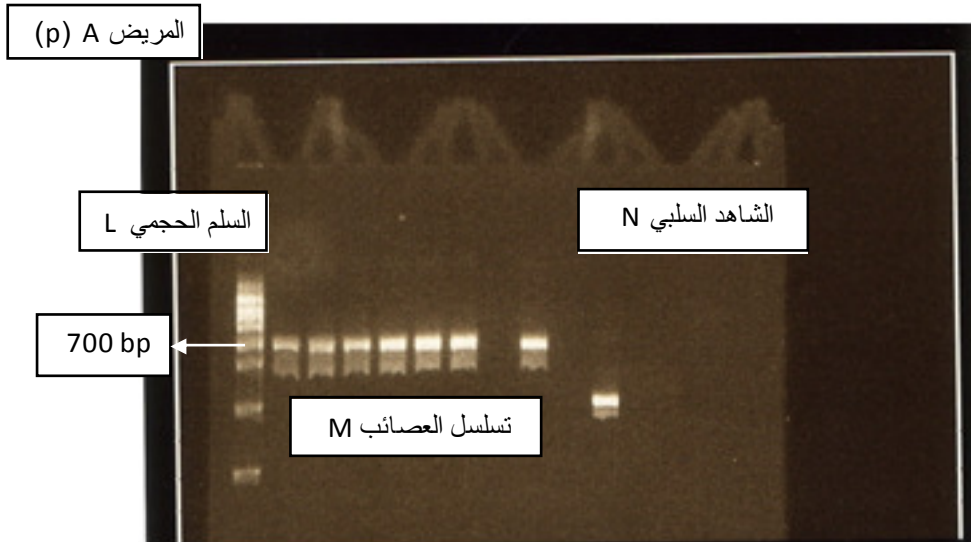
تظهر الصورة (الشكل 7- أ) سلسلة من العصائب المتجانسة النموذجية المتتالية في الإكسون 28 من دنا الشاهد كعصابة واحدة بحجم 800bp في المستوى نفسه مما يؤكد على خلو الشاهد من الطفرات الجزيئية



(الشكل 7- أ) عبارة عن صورة عصائب الإكسون 28 في الشاهد حيث تتسلسل العصائب المتجانسة في مستوى واحد

ثانياً عصائب المريض A

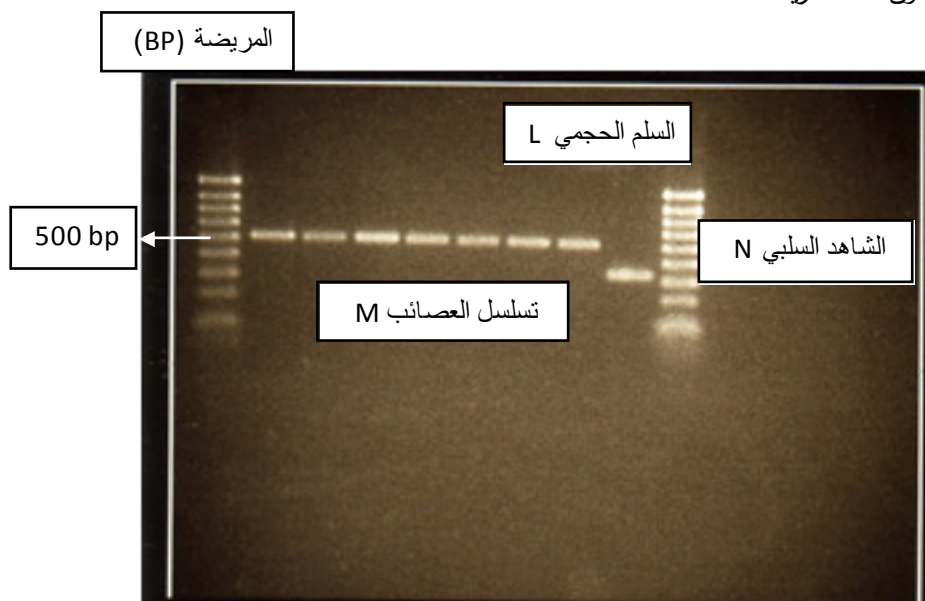
تظهر الصورة (الشكل 7- ب) وجود عصابة واحدة خارج خط العصائب في المريض A مما يشير إلى وجود عصابة طافرة في الإكسون (28) وبمقدار حجمي يصل إلى 700bp مقارنة بالسلم الحجمي



(الشكل 7- ب) صورة نموذجية تبين عصائب الإكسون 28 في المريض A التي تظهر وجود عصابة طافرة واحدة خارج خط العصائب

ثالثاً "عصائب المريضة B

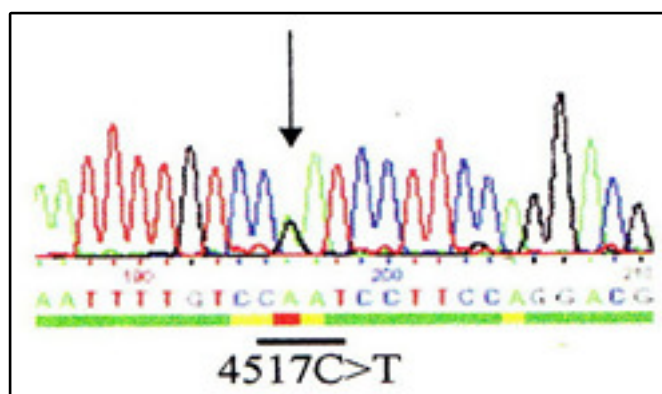
تظهر الصورة النمذجية (الشكل 7-ج) وجود عصابة واحدة 500bp خارج خط العصائب كما يشير إلى وجود طفرة واحدة في الإكسون 28 للمريضة B



(الشكل 7-ج) صورة عصابات الأكسون 28 في المريضة B تبين وجود عصابة واحدة طافرة خارج خط العصائب

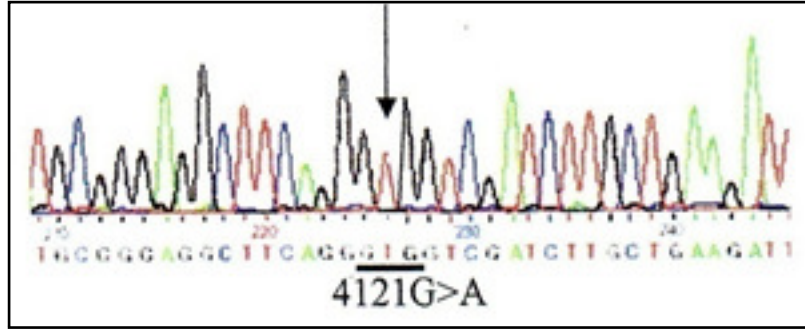
7. تحديد تسلسل الطفرتين A₁ و B₁

يظهر المخطط البياني للمسح الحاسوبي بتطبيق تقنية سلسلة دنا الإكسون 28 أن الطفرة A₁ هي C>T4517 وأن الطفرة B₁ هي G>A4121 على السلسلة المرمزة (coding strand) بعد التأكد من ثباتها كما يأتي: (a) يظهر تسلسل الأكسون 28 في المريض A (المتغاير اللواقح) حدوث طفرة مورثية أدت لتغير أساس السيتوزين (C) إلى أساس الثايمين (T) على السلسلة المرمزة لأن استخدام الحالة العكسية يظهر تغير CGA إلى CAA (الشكل 8) وهذا يعني أن التغير حصل في السلسلة المرمزة TCG إلى TTG



(الشكل 8) : يبين المخطط البياني لطفرة C>T 4517 في الإكسون 28 للمريض A للحالة العكسية التي تظهر CAA التي هي TCG المتغيرة إلى TTG على السلسلة المرمزة

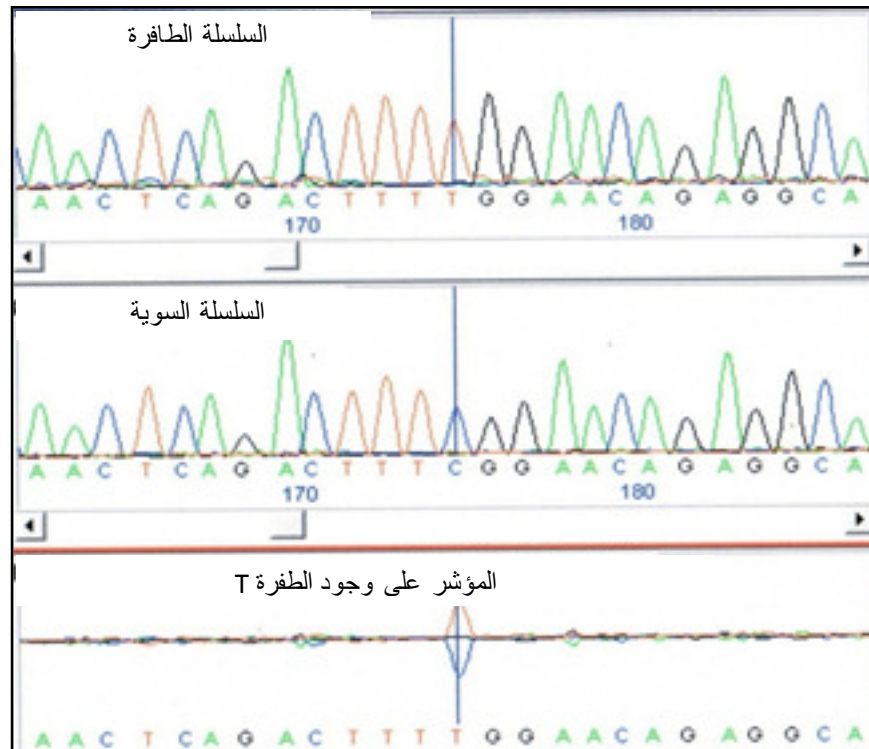
(b) يظهر تسلسل الإكسون 28 في المريضة B (المتغايرة اللوآح) تغيير أساس الغوانين (G) إلى أساس الأدينين (A) على السلسلة المرمزة لأن استخدام الحالة العكسية يظهر تغير GCG إلى GTG (الشكل 9) وهو يمثل على السلسلة المرمزة $C\underline{G}C$ إلى $C\underline{A}C$



(الشكل 9) المخطط البياني لتسلسل الإكسون 28 للمريضة B يظهر الطفرة $G>A412$ باستخدام الحالة العكسية التي تظهر GCG إلى GTG التي هي تغير في $C\underline{G}C$ إلى $C\underline{A}C$ على السلسلة المرمزة

8. تسلسل كشف الطفرة

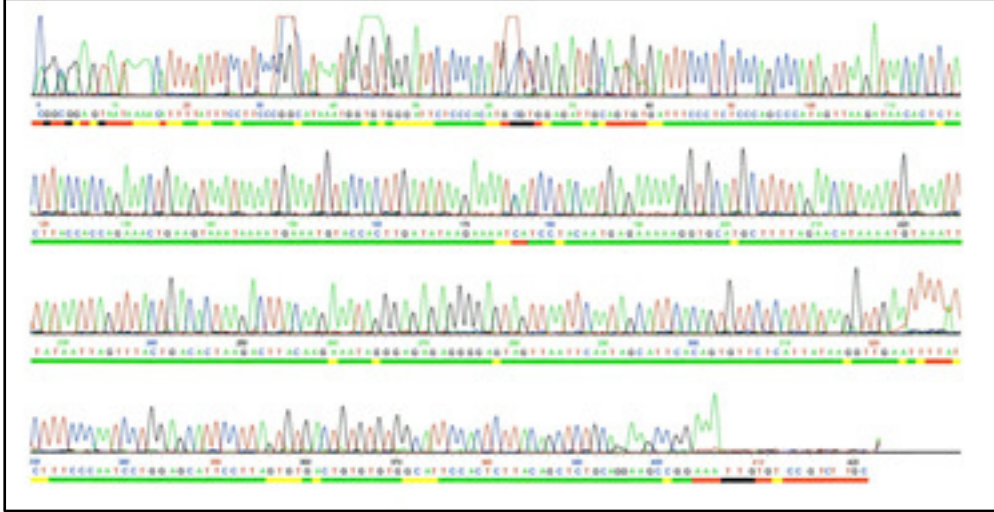
يتبين بتطبيق تقنية كشف الطفرة في المريض A وبالمقارنة بين سلسلتين مرمزتين لهما نفس التسلسل في إكسون المريض والشاهد أن السلسلة الطافرة تحمل الأساس (T) وأن السلسلة الشاهدة تحمل الأساس (C) في الإكسون 28 وهذا يكفي للتوثيق (الشكل 10).



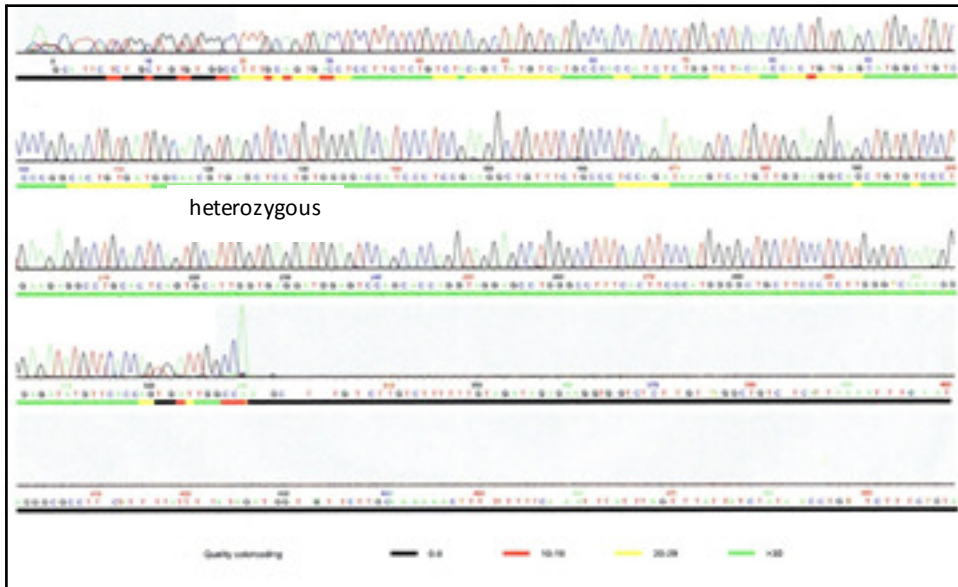
(الشكل 10): يبين المخططان البيانيان لكشف الطفرة من C إلى T إذ تم استبدال السيتوزين (C) في السلسلة المرمزة للشاهد السوي بالثايمين (T) في السلسلة المرمزة للمريض A وهذه الطفرة يشير إليها المؤشر

9. سلسلة DNA المورثة (VWGene)

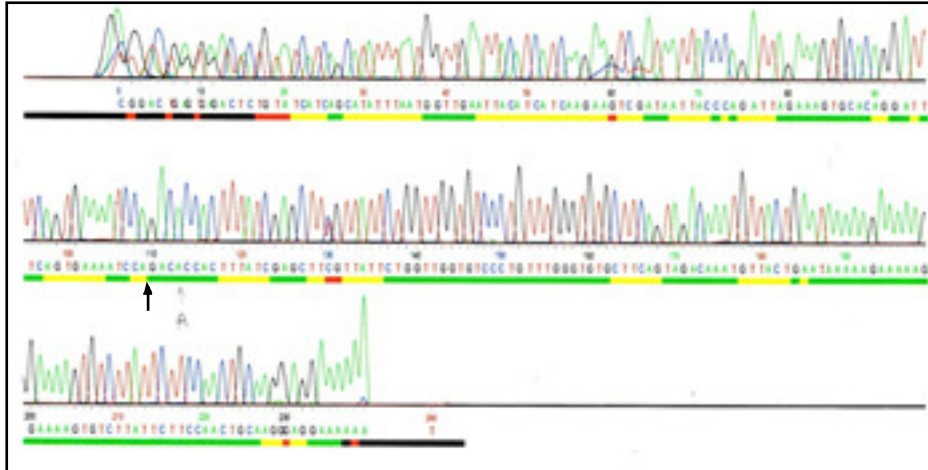
يبدو من المخطط البياني لسلسلة أسس دنا المورثة VWGene للشاهد بالمقارنة مع التسلسل الموجود في قاعدة البيانات (NCBI) أن التسلسل سوي وخالٍ من الطفرات (شكل 11) أما عند مقارنة هذا التسلسل مع سلسلة المورثة الطافرة VWGene في المريض A يتبين ظهور طفرة الأساس T مع خلو بقية المورثة من أي طفرة (الشكل 12) وكذلك يتبين وبالطريقة نفسها من ظهور الطفرة A الوحيدة في مورثة المريضة B (الشكل 13)



(الشكل 11): مخطط بياني يبين المسح الحاسوبي لمورثة VWGene للشاهد السوي إذ يظهر الشكل أن التسلسل كان فيه سويًا بالمقارنة مع تسلسل المورثة المخزنة في بنك NCBI



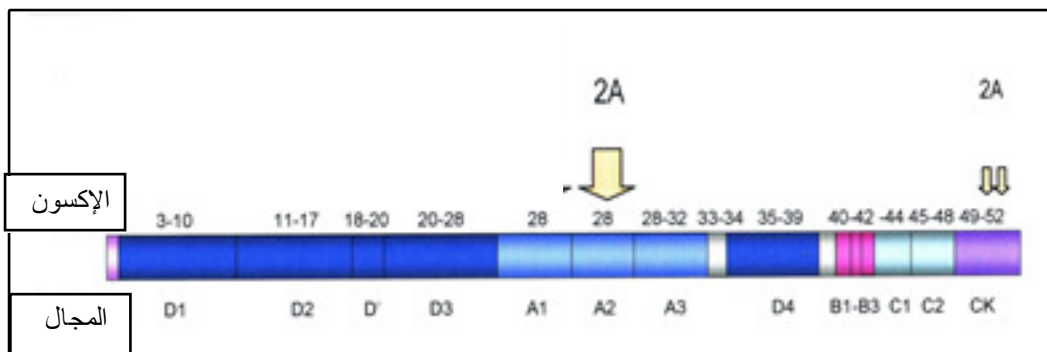
(الشكل 12): مخطط بياني يبين ظهور الطفرة T في مورثة VWGene في المريض A إذ يشير السهم إليها بالمقارنة مع سلسلة المورثة السوية



(الشكل 13): يبين المخطط البياني ظهور طفرة الأساس A (إذ يشير السهم) في المريضة B نتيجة لمقارنتها مع سلسلة دنا المورثة السوية

المناقشة (Discussion)

يتبين من دراسة النتائج الجزيئية الوراثية بمجملها لمريضي فون فيلبراند (A) و (B) بالمقارنة مع معطيات الشواهد في الاختبارات المناعية النوعية أن مستوى VWF:Ag يحدد كمية العامل VWF (11) وأن مقايسة VWF:RCO تحدد نشاطه الوظيفي (13) وأن مقايسة VWF:CB تبين انخفاض الألفة لربط الكولاجن والعامل VWF (14) على الصفيحات وأن الارتباط الجزئي (0.62-0.28) للعاملين VWF و FVIII (12) يؤدي إلى عدم استقرار العامل FVIII وإلى أعراض تشبه أعراض مرض الناعور A مع أن مورثة العامل FVIII غير طافرة (20) وبأخذ المقايسات الثلاث VWF:Ag و VWF:RCO و VWF:CB بالإضافة إلى القياس المنخفض (10-15) % لعصائب العامل VWF (21) يتبين أن الطفرور الوراثي وظهور مرض VWD يقع في الإكسون 28 من المجال 2A (الشكل 14) (22) وهذا ما يعلل تعطيل عملية التخثر الدموي من عدم التصاق الصفيحات (7) على الجرح الوعائي وعدم الالتصاق على الكولاجن وإطالة زمن النزف الدموي (23)



(الشكل 14) : مخطط يبين الأساس الجزيئي لنمط 2AVWD ويبين موقع الإكسون 28

في المجال 2A لتتالي الإكسونات (52) في الدنا المتمم cDNA المعتمد كتسلسل مرجعي لمورثة العامل VWF (24)

وبمقارنة نتائج عصائب الدنا (25) وظهور العصابتين الطافرتين بحجم يتراوح بين 500bp و 700bp بحسب التجارب (16) ودراسة تسلسل طفرتي A₁ و B₁ (17) وظهورهما في تسلسل المورثة VWF وتسلسل الطفرة A₁

وكشفها وتحولها من C إلى T وظهورها في السلسلة المرمزة على هيئة TTG وكذلك تسلسل الطفرة B₁ وظهورها من CGC إلى CAC على السلسلة المرمزة يمكن القول أن النتائج دقيقة ومنسجمة معاً وأن الطفرتين المعنيتين قابلتان للحياة (لأنهما متغايرتا اللواحق) في مرض VWD وأنها السبب في عوز بروتين العامل VWF وفي انخفاضه النسبي (15) وأنها يقعان في ظاهرة التعدد الشكلي النكليوتيدي المفرد (SNP_s) (26) و(30) ويتبين من الدراسة أن الطفرتين A₁ و B₁ هما خارج الطفرات الخمس والأربعين (45) المكتشفة والمسجلة في بنك المورثات (NCBI) (27) والمدروسة أيضاً من خلال تسلسل الدنا المتمم (cDNA) كما تبين لاحقاً أن الطفرة A₁ موجودة ومعروفة في أم المريض A (28) وبذلك يمكن الافتراض أن هذه الطفرة قد نقلت إلى ابنها بفعل الوراثة أما الطفرة B₁ فقد حدثت بفعل العبور قبل ظهورها في المريضة B. وأخيراً تؤكد على أن العمل الوراثي في تشكّل الخثرات الدموية وفي هندستها وفي وظيفتها هو عمل مبرمج في سلسلة من المورثات المؤتمته بفعل الوراثة والحياة (29).

الاستنتاجات والتوصيات:

ختاماً يتبين من التشخيص الجزيئي للمريضين وهما رجل (A) وامرأة (B) قد ظهرت فيهما أعراض مرض VWD وهما في حالة البلوغ (20-25) سنة وليس بينهما قرابة وكذلك من دراسة سلسلة دنا الأكسون 28 في مورثة العامل VWF ما يأتي:

- (a) كان المريض A من أسرة لها تاريخها المرضي الحاد في النزف الدموي وقد تطلب له نقلًا للدم وكان يحمل الطفرة A₁ التي هي C>T في الإكسون 28 من نمط 2AVWD
- (b) كانت المريضة B حاملًا في وقت الدراسة ولها تاريخ طويل بالنزف الدموي وخاصة منذ الدورة الشهرية وتحمل الطفرة B₁ التي هي G>A في الإكسون 28 من نمط 2AVWD
- أما التوصية الوحيدة في هذا المجال فهي وجوب دراسة سلسلة دنا المورثة في أية دراسة جزيئية تتناول موضوع المورثات سواء في الإنسان أو في التنوع الحيوي لأهميتها المعرفية والتطورية.

المراجع:

1. Von Willebrand EA:(1962). Hereditar Pseudohermofili Finska Lakaresdlikaptet:Handingar, 672:7-112
2. Sadler JE (1998). Biochemistry and Genetics of V.W.F. Annul review of Biochemistry 67:395-424
3. Titani, K,YoshtakeS, Schach, BG, Foster, DC (1986). Amino acids sequence of human V.W.F.Biochemistry, 25: 3171-3184
4. Verweij. C.L. (1988). Biosynthesis of human Von Willebrand factor (V.W.F). Haemostasis, 18, 224-245
5. Peake, I.(28/07/2005). Aggregate into platelet plug. <http://cwx.prenhall.com/bookbind/puboks/silverthorn2/medialib/image-bank/CHI>
6. Kulkarni.C. (2000).Arevised model of platalet aggregation, journal of clinical investigation, 105:783-791
7. Savage B, Saldivar, E, Ruggeri, ZM, (1996).Initiation of platelet adhesion by arrest on to fibrinogen on V.W.F. Cell, 84:289-297

8. Simoni, E. (2004). Best practice guide lines for molecular diagnosis. *Int.J. Androl*, 27: 240-249
9. Strachan, T and Read A, (1996). PCR. Based DNA cloning and DNA analyses. *Human molecular Genetics*. 2nd, ed Gon Willey & sons inc, New york and London. 129-144
10. Wikipedia, DNA sequence (3/10/2005). <http://www.answer.com/main/ntguerymethod=4&dsid=2222&deky=DNA+sequen>
11. Mazurien, C, Parquet, T Guernez A & Goudemand, M, (1977). Enzyme-linked immunoabsorbant assay of facotr FVIII related antigen. *Pathology and biology* 25: 18-24
12. Shi, Q, Verweij, CL, Hart, M, Wagner, DD, (2003). Expression of human factor FVIII under control of the VWF. *Molecular genetics and metabolism*, vol 79: 25-33
13. Weiss, H, Hoyer, LU, Aichles, FR, (1973). (VWF:RCO) Quantitative assay of a plasma factor deficient in VWD that is necessary for platelet aggregation. *Activity and antigen content*, 52: 2708-2716
14. Favalaro, EJ. (2000). Collagen binding assay for VWF (VWF:CB). *Thrombosis and haemostasis*, 83:127-135
15. Schneppenheim, R, Budde U, Obser T, Krey S, Plendl, H. (2001). Expression and characterization of VWF dimerization defects in different types of VWD. *Blood* 97: 2059-2066
16. Saiki, A, & Ruggeri, C. (1988). Primer - directed enzymatic amplification of DNA with a thermostable DNA polymerase: *Science*, 239: 487 - 491
17. Sequence of single strand DNA. (11/10/2005). [http://www.ncbi.nlm.nih.gov/about/primer/images/DNA sequenceing4.gif](http://www.ncbi.nlm.nih.gov/about/primer/images/DNA%20sequenceing4.gif).
18. Goodeve, A. (2003). Mutation analysis in V.W.D. Review: oco-75-University of Sheffiled and European commission FPS, Supplement to the journal of thrombosis and haemostasis: 1740-1749
19. Human genome project. (2/08/2003). The entire VWF genomic DNA sequence has become available in first draft from a result of the human genome project. <http://www.users.rcn.com/jkimball.ma.ultranet/biology/pages/H/HGP.html>
20. Goodeve, A, (2000). Relationship between factor FVIII mutation type and factor VWF. *Haemostasis* 83: 844-848
21. Ginsburg, D, & Sadler JE, (10/11/2004). Von Willebrand Factor (VWF) Database. <http://www.inmag.2imedumchedu/VWF/ratio>
22. V.W.F homepage. Sheffield University. (3/08/2005). Example multimer patterns in type 2VWD. <http://www.shef.ac.uk./multimer.html>
23. Goodeve, A. (1998). Review, laboratory methods for the genetic diagnosis of bleeding disorders. *Clinical Laboratory, Haematology*. 20: 3-19
24. Bonthron, D, (1986). Structure of pre-pro-von Willebrand factor cDNA and its expression in heterologous cells. *Nature*, 24: 270- 273
25. Fujimura Cl and Titani R. (2002). Structure and Fuction of VWF. *Haemostasis and Thrombosis*, 70: 99-104
26. Goodeve, A and Peak, L. (2001). A standard nomenclature for VWF gene mutation and polymorphisms. *Best practice & research clinical. Haematology*. 14, No. 2: 235-240
27. Peak, I, (11/08/2005). Mutation in the VWF gene. <http://www.ragtimedesign.com/VWF/mutation>
28. Goodeve, A, (12/08/2005). DNA Sequencing, [http://www.ncbi.nlm.nih.gov/about/primer/images/DNA sequencing4.gif](http://www.ncbi.nlm.nih.gov/about/primer/images/DNA%20sequencing4.gif)
29. Tonkin, E. (2004). Principales of automated DNA sequencing. *Journal of molecular genetics*, 69: 183-185.
30. Mutations in the VWF Gene, 28/07/2005 Sheffiled University VWF Home page <http://www.ragtimedesign.com/VWF/mutation>